

## 9. Решение обыкновенных дифференциальных уравнений и систем

*Дифференциальные уравнения и системы* описывают очень многие динамические процессы и возникают при решении различных задач физики, электротехники, химии и других наук. Данная глава посвящена численному решению дифференциальных уравнений и систем средствами Octave.

### 9.1 Общие сведения о дифференциальных уравнениях

*Дифференциальным уравнением*  $n$ -го порядка называется соотношение вида

$$H(t, x, x', x'', \dots, x^{(n)})=0. \quad (9.1)$$

*Решением дифференциального уравнения* называется функция  $x(t)$ , которая обращает уравнение в тождество.

*Системой дифференциальных уравнений*  $n$ -го порядка называется система вида:

$$\begin{cases} x_1' = f_1(t, x_1, x_2, \dots, x_n) \\ x_2' = f_2(t, x_1, x_2, \dots, x_n) \\ \dots\dots\dots \\ x_n' = f_n(t, x_1, x_2, \dots, x_n) \end{cases} \quad (9.2)$$

*Системой линейных дифференциальных уравнений* называется система вида:

$$\begin{cases} x_1' = \sum_{j=1}^n a_{1j} x_j + b_1 \\ x_2' = \sum_{j=1}^n a_{2j} x_j + b_2 \\ \dots\dots\dots \\ x_n' = \sum_{j=1}^n a_{nj} x_j + b_n \end{cases} \quad (9.3)$$

*Решением системы* называется вектор  $x(t) = \begin{pmatrix} x_1(t) \\ x_2(t) \\ \dots \\ x_n(t) \end{pmatrix}$ , который обращает

уравнения систем (9.2), (9.3) в тождества.

Каждое дифференциальное уравнение, так же, как и система, имеет бесконечное множество решений, которые отличаются друг от друга константами. Для однозначного определения решения необходимо определить дополнительные начальные или граничные условия. Количество таких условий должно совпадать с порядком дифференциального уравнения или системы. В зависимости от вида дополнительных условий в дифференциальных уравнениях различают:

- задачу Коши, в случае, если все дополнительные условия заданы в одной (чаще начальной) точке интервала;

- краевую задачу, в случае, когда дополнительные условия заданы на границах интервала.

Различают *точные* (аналитические) и *приближенные* (численные) методы решения дифференциальных уравнений. Большое количество уравнений может быть решено точно. Однако есть уравнения, а особенно системы уравнений, для которых нельзя записать точное решение. Но даже для уравнений с известным аналитическим решением очень часто необходимо вычислить числовое значение при определенных исходных данных. Поэтому широкое распространение получили численные методы решения обыкновенных дифференциальных уравнений.

## 9.2 Численные методы решения дифференциальных уравнений и их реализация в *Octave*

Численные методы решения дифференциального уравнения первого порядка будем рассматривать для следующей задачи Коши. Найти решение дифференциального уравнения

$$x' = f(x, t) \quad (9.4)$$

удовлетворяющее начальному условию

$$x(t_0) = x_0 \quad (9.5)$$

иными словами, требуется найти интегральную кривую  $x = x(t)$ , проходящую через заданную точку  $M_0(t_0, x_0)$  (рис. 9.1).

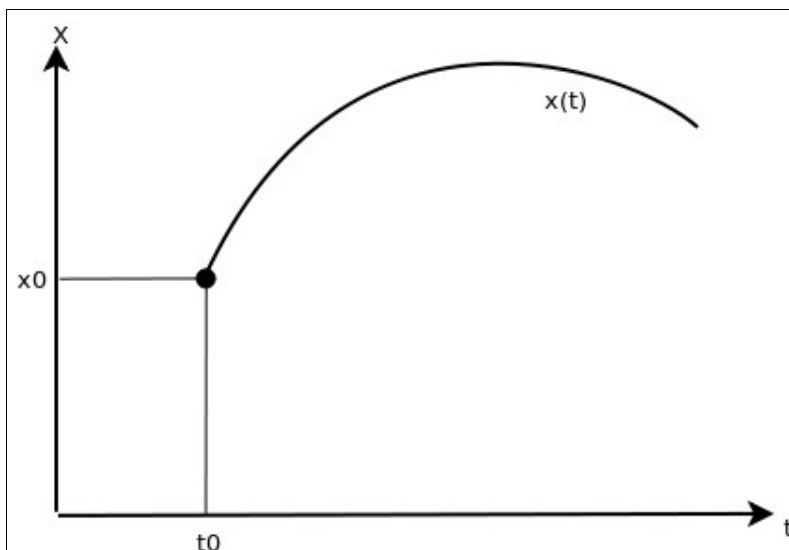


Рисунок 9.1. Интегральная кривая, проходящая через точку  $M_0(t_0, x_0)$

Для дифференциального уравнения n-го порядка

$$x^{(n)} = f(t, x, x', x'', \dots, x^{(n-1)}) \quad (9.6)$$

задача Коши состоит в нахождении решения  $x = x(t)$ , удовлетворяющего уравнению (9.6) и начальным условиям

$$x(t_0)=x_0, x'(t_0)=x'_0, \dots, x^{(n-1)}(t_0)=x_0^{(n-1)}. \quad (9.7)$$

Рассмотрим основные численные методы решения задачи Коши.

### 9.2.1 Решение дифференциальных уравнений методом Эйлера

При решении задачи Коши (9.4), (9.5) на интервале  $[t_0, t_n]$ , выбрав достаточно малый шаг  $h$ , построим систему равноотстоящих точек

$$h = \frac{t_n - t_0}{n}, t_i = t_0 + ih, i = 0, n \quad (9.8)$$

Для вычисления значения функции в точке  $t_1$  разложим функцию  $x = x(t)$  в окрестности точки  $t_0$  в ряд Тейлора [2]

$$x(t_1) = x(t_0 + h) = x(t_0) + x'(t_0)h + x''(t_0)\frac{h^2}{2} + \dots \quad (9.9)$$

При достаточно малом значении  $h$  членами выше второго порядка можно пренебречь и с учетом  $x'(t_0) = f(x_0, t_0)$  получим следующую формулу для вычисления приближенного значения функции  $x(t)$  в точке  $t_1$

$$h = \frac{t_n - t_0}{n}, t_i = t_0 + ih, i = 0, n \quad (9.10)$$

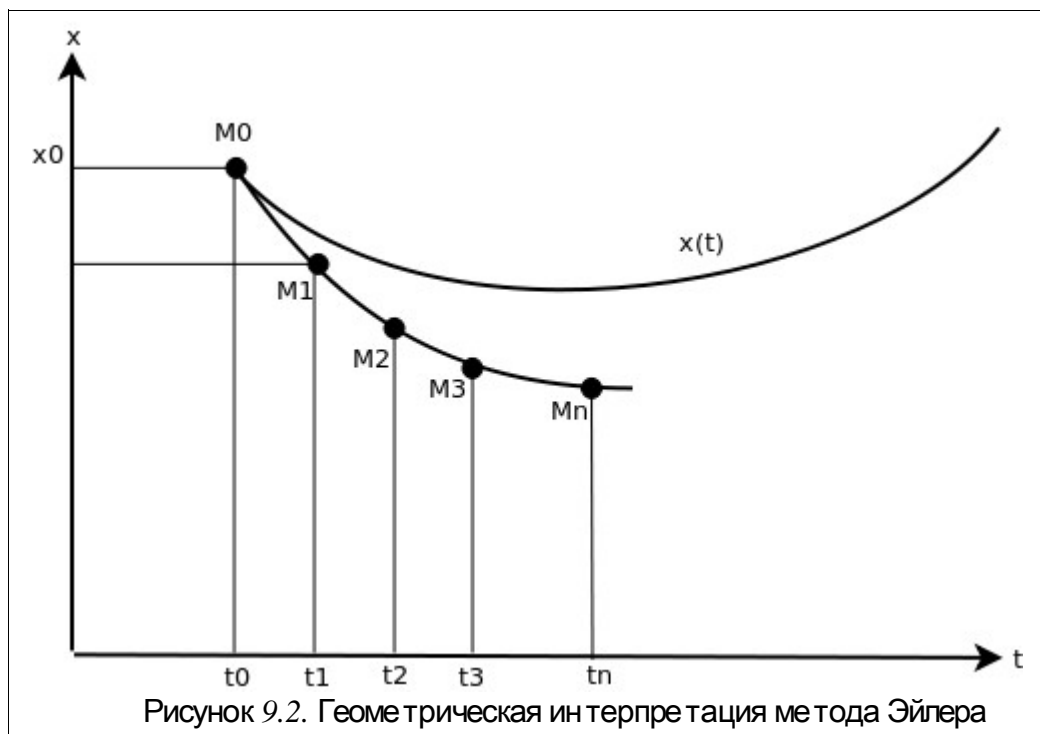
Рассматривая найденную точку  $(x_1, t_1)$ , как начальное условие задачи Коши запишем аналогичную формулу для нахождения значения функции  $x(t)$  в точке  $t_2$

$$x_2 = x_1 + h f(x_1, t_1).$$

Повторяя этот процесс, сформируем последовательность значений  $x_i$  в точках  $t_i$  по формуле

$$x_{i+1} = x_i + h f(x_i, t_i), i = 1, n. \quad (9.11)$$

Процесс нахождения значений функции  $x_i$  в узловых точках  $t_i$  по формуле (9.11) называется *методом Эйлера*. Геометрическая интерпретация метода Эйлера состоит в замене интегральной кривой  $x(t)$  ломаной  $M_0, M_1, M_2, \dots, M_n$  с вершинами  $M_i(x_i, y_i)$ . Звенья ломанной Эйлера  $M_i M_{i+1}$  в каждой вершине  $M_i$  имеют направление  $y_i = f(t_i, x_i)$ , совпадающее с направлением интегральной кривой  $x(t)$  уравнения (9.4), проходящей через точку  $M_i$  (рис. 9.2). Последовательность ломанных Эйлера при  $h \rightarrow 0$  на достаточно малом отрезке  $[x_i, x_i + h]$  стремится к искомой интегральной кривой.



На каждом шаге решение  $x(t)$  определяется с ошибкой за счет отбрасывания членов ряда Тейлора выше первой степени, что в случае быстроменяющейся функции  $f(t, x)$  может привести к быстрому накоплению ошибки. В методе Эйлера следует выбирать достаточно малый шаг  $h$ .

### 9.2.2 Решение дифференциальных уравнений при помощи модифицированного метода Эйлера

Более точным методом решения задачи (9.4)-(9.5) является *модифицированный метод Эйлера*, при котором сначала вычисляют промежуточные значения [2]

$$t_p = t_i + \frac{h}{2}, x_p = x_i + \frac{h}{2} f(x_i, t_i) \quad (9.12)$$

после чего находят значение  $x_{i+1}$  по формуле

$$x_{i+1} = x_i + h f(x_p, t_p), i = 1, n \quad (9.13)$$

### 9.2.3 Решение дифференциальных уравнений методами Рунге-Кутты

Рассмотренные выше методы Эйлера (как обычный, так и модифицированный) являются частными случаями явного *метода Рунге-Кутты*  $k$ -го порядка. В общем случае формула вычисления очередного приближения методом Рунге-Кутты имеет вид [2]:

$$x_{i+1} = x_i + h \phi(t_i, x_i, h), i = 1, n \quad (9.14)$$

Функция  $\phi(t, x, h)$  приближает отрезок ряда Тейлора до  $k$ -го порядка и не

содержит частных производных  $f(t, x)$  [2].

Метод Эйлера является *методом Рунге-Кутты первого порядка* ( $k=1$ ) и получается при  $\Phi(t, x, h) = f(t, x)$ .

1. Семейство *методов Рунге-Кутты второго порядка* имеет вид [2]

$$x_{i+1} = x_i + \left( (1-\alpha) f(t_i, x_i) + \alpha f\left(t_i + \frac{h}{2}, x_i + \frac{h}{2\alpha} f(t_i, x_i)\right) \right), i=1, n \quad (9.15)$$

Два наиболее известных среди методов Рунге-Кутты второго порядка [2] – это метод Хойна ( $\alpha = \frac{1}{2}$ ) и модифицированный метод Эйлера ( $\alpha = 1$ ).

Подставив  $\alpha = \frac{1}{2}$  в формулу (9.15), получаем расчетную формулу *метода Хойна* [2]:

$$x_{i+1} = x_i + \frac{h}{2} f(t_i, x_i) + f\left(t_i + h, x_i + h f(t_i, x_i)\right), i=1, n \quad (9.16)$$

Подставив  $\alpha = 1$  в формулу (9.15), получаем расчетную формулу уже рассмотренного выше модифицированного метода Эйлера

$$x_{i+1} = x_i + h \left( f\left(t_i + \frac{h}{2}, x_i + \frac{h}{2} f(t_i, x_i)\right) \right), i=1, n \quad (9.17)$$

Наиболее известным является *метод Рунге-Кутты четвертого порядка*, расчетные формулы которого можно записать в виде [2]:

$$\left\{ \begin{array}{l} x_{i+1} = x_i + \Delta x_i, i=1, n \\ \Delta x_i = \frac{h}{6} (K_1^i + 2K_2^i + 2K_3^i + K_4^i) \\ K_1^i = f(t_i, x_i) \\ K_2^i = f\left(t_i + \frac{h}{2}, x_i + \frac{h}{2} K_1^i\right) \\ K_3^i = f\left(t_i + \frac{h}{2}, x_i + \frac{h}{2} K_2^i\right) \\ K_4^i = f(t_i + h, x_i + h K_3^i) \end{array} \right. \quad (9.18)$$

Одной из модификаций метода Рунге-Кутты является *метод Кутты-Мерсона* (или *пятиэтапный метод Рунге-Кутты четвертого порядка*), который состоит в следующем [2].

1. На  $i$ -м шаге рассчитываются коэффициенты

$$\begin{aligned}
K_1^i &= f(t_i, x_i) \\
K_2^i &= f\left(t_i + \frac{h}{3}, x_i + \frac{3}{2} K_1^i\right) \\
K_3^i &= f\left(t_i + \frac{h}{3}, x_i + \frac{h}{6} K_1^i + \frac{h}{6} K_2^i\right) \\
K_4^i &= f\left(t_i + \frac{h}{2}, x_i + \frac{h}{8} K_1^i + \frac{3h}{2} K_2^i\right) \\
K_5^i &= f\left(t_i + h, x_i + \frac{h}{2} K_1^i - \frac{3h}{2} K_3^i + 2h K_4^i\right)
\end{aligned} \tag{9.19}$$

2. Вычисляем приближенное значение  $x(t_{i+1})$  по формуле

$$x_{i+1}^{\sim} = x_i + \frac{h}{2}(K_1^i - 3K_3^i + 4K_4^i) \tag{9.20}$$

3. Вычисляем приближенное значение  $x(t_{i+1})$  по формуле

$$x_{i+1} = x_i + \frac{h}{6}(K_1^i + 4K_3^i + K_5^i) \tag{9.21}$$

4. Вычисляем оценочный коэффициент по формуле

$$R = 0.2|x_{i+1} - x_{i+1}^{\sim}| \tag{9.22}$$

5. Сравниваем  $R$  с точностью вычислений  $\varepsilon$ . Если  $R \geq \varepsilon$ , то уменьшаем шаг вдвое и возвращаемся к п.1. Если  $R < \varepsilon$ , то значение, вычисленное по формуле (9.21), и будет вычисленным значением  $x(t_{i+1})$  (с точностью  $\varepsilon$ ).

6. Перед переходом к вычислению следующего значения  $x$ , сравниваем  $R$  с  $\frac{\varepsilon}{64}$ . Если  $R < \frac{\varepsilon}{64}$ , то дальнейшие вычисления можно проводить с удвоенным шагом  $h = 2h$ .

Рассмотренные методы Рунге-Кутты относятся к классу одношаговых методов, в которых для вычисления значения в очередной точке  $x_{k+1}$  нужно знать значение в предыдущей точке  $x_k$ .

Еще один класс методов решения задачи Коши – *многошаговые методы*, в которых используются точки  $x_{k-3}$ ,  $x_{k-2}$ ,  $x_{k-1}$ ,  $x_k$  для вычисления  $x_{k+1}$ . В многошаговых методах первые четыре начальные точки  $(t_0, x_0)$ ,  $(t_1, x_1)$ ,  $(t_2, x_2)$ ,  $(t_3, x_3)$  должны быть получены заранее любым из одношаговых методов (метод Эйлера, Рунге-Кутта и т.д.). Наиболее известными *многошаговыми методами* являются методы *прогноза-коррекции Адамса* и *Милна*.

### 9.2.4 Решение дифференциальных уравнений методом прогноза-коррекции Адамса

Рассмотрим решение уравнения (9.1)-(9.2) на интервале  $[t_i, t_{i+1}]$ . Будем считать, что решение в точках  $t_0, t_1, t_2, \dots, t_i$  уже найдено, и значения в этих точках будем использовать для нахождения значения  $x(t_{i+1})$ .

Проинтегрируем уравнение (9.1) на интервале  $[t_i, t_{i+1}]$  и получим соотношение [2]

$$x(t_{i+1}) = x(t_i) + \int_{t_i}^{t_{i+1}} f(t, x(t)) dt \quad (9.23)$$

При вычислении интеграла, входящего в (9.23), вместо функции  $f(t, x(t))$  будем использовать интерполяционный полином Лагранжа, построенный по точкам  $(t_{i-3}, x_{i-3})$ ,  $(t_{i-2}, x_{i-2})$ ,  $(t_{i-1}, x_{i-1})$ ,  $(t_i, x_i)$ . Подставив полином Лагранжа в (9.23), получаем первое приближение (прогноз)  $x_{i+1}^{\sim}$  для значения функции в точке  $t_{i+1}$

$$x_{i+1}^{\sim} = x_i + \frac{h}{24} (-9 f(t_{i-3}, x_{i-3}) + 37 f(t_{i-2}, x_{i-2}) - 59 f(t_{i-1}, x_{i-1}) + 55 f(t_i, x_i)) \quad (9.24)$$

Как только  $x_{i+1}^{\sim}$  вычислено, его можно использовать. Следующий полином Лагранжа для функции  $f(t, x(t))$  построим по точкам  $(t_{i-2}, x_{i-2})$ ,  $(t_{i-1}, x_{i-1})$ ,  $(t_i, x_i)$  и новой точке  $(t_{i+1}, x_{i+1}^{\sim})$ , после чего подставляем его в (9.23) и получаем второе приближение (корректор)

$$x_{i+1} = x_i + \frac{h}{24} (f(t_{i-2}, x_{i-2}) - 5 f(t_{i-1}, x_{i-1}) + 19 f(t_i, x_i) + 9 f(t_{i+1}, x_{i+1}^{\sim})) \quad (9.25)$$

Таким образом, для вычисления значения  $x(t_{i+1})$  методом Адамса необходимо последовательно применять формулы (9.24), (9.25) [2], а первые четыре точки можно получить методом Рунге-Кутты.

### 9.2.5 Решение дифференциальных уравнений методом Милна

Отличие *метода Милна* от метода Адамса состоит в использовании в качестве интерполяционного полинома Ньютона.

Подставив в (9.23) вместо функции  $f(t, x(t))$  интерполяционный полином Ньютона, построенный по точкам  $(t_{k-3}, x_{k-3})$ ,  $(t_{k-2}, x_{k-2})$ ,  $(t_{k-1}, x_{k-1})$ ,  $(t_k, x_k)$  получаем первое приближение – прогноз Милна  $x_{k+1}^{\sim}$  для значения функции в точке  $t_{k+1}$  [2]

$$x_{k+1}^{\sim} = x_{k-3} + \frac{4h}{3} (2 f(t_{k-2}, x_{k-2}) - f(t_{k-1}, x_{k-1}) + 2 f(t_k, x_k)) \quad (9.26)$$

Следующий полином Ньютона для функции  $f(t, x(t))$  построим по точкам  $(t_{k-2}, x_{k-2})$ ,  $(t_{k-1}, x_{k-1})$ ,  $(t_k, x_k)$  и новой точке  $(t_{k+1}, x_{k+1}^{\sim})$ , после чего подставляем его в (9.23) и получаем второе приближение – корректор Милна [2]

$$x_{k+1} = x_{k-1} + \frac{h}{3} (f(t_{k-1}, x_{k-1}) + 4 f(t_k, x_k) + f(t_{k+1}, x_{k+1}^{\sim})) \quad (9.27)$$

В методе Милна для вычисления значения  $x(t_{k+1})$  необходимо последовательно применять формулы (9.26), (9.27), а первые четыре точки можно получить методом Рунге-Кутты.

Существует *модифицированный метод Милна*. В нем сначала вычисляется первое

приближение по формуле (9.26), затем вычисляется управляющий параметр [2]

$$m_{k+1} = x_{k+1}^{\sim} + \frac{28}{29}(x_k - \tilde{x}_k) \quad (9.28)$$

после чего вычисляется значение второго приближения – корректор Милна по формуле

$$x_{k+1} = x_{k-1} + \frac{h}{3}(f(t_{k-1}, x_{k-1}) + 4f(t_k, x_k) + f(t_{k+1}, m_{k+1})) \quad (9.29)$$

В модифицированном методе Милна первые четыре точки можно получить методом Рунге-Кутты, а для вычисления значения  $x(t_{k+1})$  необходимо последовательно применять формулы (9.26), (9.28), (9.29).

### 9.3 Реализация численных методов в Octave

Ниже приведены тексты функций, реализующие рассмотренных в п. 9.2 , численных методов решения дифференциальных уравнений.

```
function [x,t]=euler(a,b,n,x0)
%Функция решения задачи Коши x'(t)=g(t,x) x(a)=x0 методом
%Эйлера на интервале интегрирования [a,b], n – количество
%отрезков, на которые разбивается интервал [a,b].
%Вычисление шага h.
h=(b-a)/n;
x(1)=x0;
% Формирование системы равноотстоящих узлов ti
for i=1:n+1
t(i)=a+(i-1)*h;
end
%Вычисление значение функции в узловых точках методом
%Эйлера по формуле (9.11)
for i=2:n+1
x(i)=x(i-1)+h*g(t(i-1),x(i-1));
end
end
```

Листинг 9.1. Функция решения задачи Коши методом Эйлера.

```
function [x,t]=euler_m(a,b,n,x0)
%Функция решения задачи Коши x'(t)=g(t,x) x(a)=x0
%модифицированным методом Эйлера на интервале
% интегрирования [a,b], n – количество отрезков, на
% которые разбивается интервал [a,b].
% Вычисление шага h.
h=(b-a)/n;
x(1)=x0;
% Формирование системы равноотстоящих узлов ti
for i=1:n+1
t(i)=a+(i-1)*h;
end
%Вычисление значение функции в узловых точках
%модифицированным методом Эйлера по формулам
%(9.13) – (9.14) .
```



```

for i=2:n+1
tp=t(i-1)+h/2;
xp=x(i-1)+h/2*g(t(i-1),x(i-1));
x(i)=x(i-1)+h*g(tp,xp);
end
end

```

Листинг 9.2. Функция решения задачи Коши модифицированным методом Эйлера.

```

function [x,t]=runge_kut(a,b,n,x0)
%Функция решения задачи Коши  $x'(t)=g(t,x)$   $x(a)=x_0$  методом
%Рунге-Кутта на интервале интегрирования  $[a,b]$ ,
%n - количество отрезков, на которые разбивается интервал
% $[a,b]$ .
%Вычисление шага h.
h=(b-a)/n;
x(1)=x0;
%Формирование системы равноотстоящих узлов ti
for i=1:n+1
t(i)=a+(i-1)*h;
end
%Вычисление значение функции в узловых точках методом
%Рунге-Кутта по формуле (9.19).
for i=2:n+1
% Расчет коэффициентов K1, K2, K3, K4
K1=g(t(i-1),x(i-1));
K2=g(t(i-1)+h/2,x(i-1)+h/2*K1);
K3=g(t(i-1)+h/2,x(i-1)+h/2*K2);
K4=g(t(i-1)+h,x(i-1)+h*K3);
%Расчет приращения delt
delt=h/6*(K1+2*K2+2*K3+K4);
x(i)=x(i-1)+delt;
end
end

```

Листинг 9.3. Функция решения задачи Коши методом Рунге-Кутта.

```

function [x,t,j]=kut_merson(a,b,n,eps,x0)
%Функция решения задачи Коши  $x'(t)=g(t,x)$   $x(a)=x_0$  методом
%Кутта-Мерсона на интервале интегрирования  $[a,b]$ 
%с точностью eps, n - количество отрезков, на которые
% вначале разбивается интервал  $[a,b]$ .
% Вычисление шага h.
h=(b-a)/n;
x(1)=x0;t(1)=a;i=2;
while (t(i-1)+h)<=b
R=3*eps;
while R>eps
%Расчет коэффициентов K1, K2, K3, K4, K5.
K1=g(t(i-1),x(i-1));
K2=g(t(i-1)+h/3,x(i-1)+h/3*K1);
K3=g(t(i-1)+h/3,x(i-1)+h/6*K1+h/6*K2);
K4=g(t(i-1)+h/2,x(i-1)+h/8*K1+3*h/8*K2);
K5=g(t(i-1)+h,x(i-1)+h/2*K1-3*h/2*K3+2*h*K4);

```

```

%Вычисление сравниваемых значений x(i+1)
X1=x(i-1)+h/2*(K1-3*K3+4*K4);
X2=x(i-1)+h/6*(K1+4*K4+K5);
%Вычисление оценочного коэффициента R.
R=0.2*abs(X1-X2);
%Сравнение оценочного коэффициента R с точностью eps.
if R>eps
h=h/2;
else
%Если оценочный коэффициент R меньше точности eps,
%то происходит формирование очередной найденной точки и
%переход к следующему этапу по i.
t(i)=t(i-1)+h;
x(i)=X2;
i=i+1;
%Если оценочный коэффициент R меньше eps/64,
%то можно попробовать увеличить шаг.
if R<=eps/64
if (t(i-1)+2*h)<=b
h=2*h;
end
end
end
end
end
%В переменной j возвращается количество элементов в
%массивах x и t
j=i-1
end

```

#### Листинг 9.4. Функция решения задачи Коши методом Кутты-Мерсона.

```

function [x,t]=adams(a,b,n,x0)
% Функция решения задачи Коши x'(t)=g(t,x) x(a)=x0 методом
%Адамса на интервале интегрирования [a,b],
%n - количество отрезков, на которые разбивается интервал
%[a,b].
% Вычисление шага h
h=(b-a)/n;
x(1)=x0;
%Формирование системы равноотстоящих узлов ti.
for i=1:n+1
t(i)=a+(i-1)*h;
end
%Вычисление значение функции в трех узловых точках методом
%Рунге-Кутты по формуле (9.19)
for i=2:4
K1=g(t(i-1),x(i-1));
K2=g(t(i-1)+h/2,x(i-1)+h/2*K1);
K3=g(t(i-1)+h/2,x(i-1)+h/2*K2);
K4=g(t(i-1)+h,x(i-1)+h*K3);
%Расчет приращения delt
delt=h/6*(K1+2*K2+2*K3+K4);

```

```

x(i)=x(i-1)+delt;
end
%Вычисление значение в остальных точках методом Адамса
for i=4:n
%Вычисление прогноза
xp=x(i)+h/24*(-9*g(t(i-3),x(i-3))+37*g(t(i-2),x(i-2))...
-59*g(t(i-1),x(i-1))+55*g(t(i),x(i)));
% Вычисление корректора
x(i+1)=x(i)+h/24*(g(t(i-2),x(i-2))-5*g(t(i-1),x(i-1))...
+19*g(t(i),x(i))+9*g(t(i+1),xp));
end
end

```

Листинг 9.5. Функция решения задачи Коши методом Адамса.

```

function [x,t]=miln(a,b,n,x0)
%Функция решения задачи Коши  $x'(t)=g(t,x)$   $x(a)=x_0$  методом
%Милна на интервал интегрирования  $[a,b]$ ,  $n$  – количество
%отрезков, на которые разбивается интервал  $[a,b]$ .
%Вычисление шага h
h=(b-a)/n;x(1)=x0;xp(1)=x(1);
%Формирование системы равноотстоящих узлов ti
for i=1:n+1
t(i)=a+(i-1)*h;
end
%Вычисление значение функции в трех узловых точках методом
%Рунге-Кутта по формуле (9.19)
for i=2:4
K1=g(t(i-1),x(i-1));
K2=g(t(i-1)+h/2,x(i-1)+h/2*K1);
K3=g(t(i-1)+h/2,x(i-1)+h/2*K2);
K4=g(t(i-1)+h,x(i-1)+h*K3);
%Расчет приращения delt
delt=h/6*(K1+2*K2+2*K3+K4);
x(i)=x(i-1)+delt;
xp(i)=x(i);
end
%Вычисление значение в остальных точках методом Адамса
for i=4:n
%Вычисление прогноза
xp(i+1)=x(i-3)+4*h/3*(2*g(t(i-2),x(i-2))-g(t(i-1),...
x(i-1))+g(t(i),x(i)));
%Вычисление управляющего параметра
m=xp(i+1)+28/29*(x(i)-xp(i));
%Вычисление корректора.
x(i+1)=x(i-1)+h/3*(g(t(i-1),x(i-1))+4*g(t(i),x(i))...
+g(t(i+1),m));
end
end

```

Листинг 9.6. Функция решения задачи Коши методом Милна<sup>1</sup>.

Рассмотрим использование приведенных выше функций на примере решения следующей задачи Коши.

<sup>1</sup> Написать функцию модифицированного метода Милна авторы предоставляют читателю.

## ПРИМЕР 9.1.

Решить задачу Коши	$y'(x) = 6y - 13x^3 - 22x^2 + 17x - 11 + \sin(x)$ $y(0) = 2$
--------------------	--

Известно точное решение задачи 9.1

$$y(x) = \frac{119}{296} e^{6x} + \frac{1}{24} (52x^3 + 114x^2 - 30x + 39) - \frac{6\sin(x)}{37} - \frac{\cos(x)}{37}$$

На листинге 9.7 представлено решение уравнения методами:

- модифицированным методом Эйлера;
- Рунге-Кутта;
- Кутта-Мерсона;
- Адамса;
- Милна.

%Точное решение

```
function q=fi(x)
```

```
q=119/296*exp(6*x)+1/24*(52*x.^3+114*x.^2-30*x+39)-...
6*sin(x)/37-cos(x)/37;
```

```
end
```

%Правая часть дифференциального уравнения.

```
function y=g(t,x)
```

```
y=6*x-13*t^3-22*t^2+17*t-11+sin(t);
```

```
end
```

%Функция решения задачи Коши модифицированным методом

%Эйлера.

```
function [x,t]=euler_m(a,b,n,x0)
```

```
h=(b-a)/n;
```

```
x(1)=x0;
```

```
for i=1:n+1
```

```
t(i)=a+(i-1)*h;
```

```
end
```

```
for i=2:n+1
```

```
tp=t(i-1)+h/2;
```

```
xp=x(i-1)+h/2*g(t(i-1),x(i-1));
```

```
x(i)=x(i-1)+h*g(tp,xp);
```

```
end
```

```
end
```

%Функция решения задачи Коши методом Рунге-Кутта.

```
function [x,t]=runge_kut(a,b,n,x0)
```

```
h=(b-a)/n;
```

```
x(1)=x0;
```

```
for i=1:n+1
```

```
t(i)=a+(i-1)*h;
```

```
end
```

```
for i=2:n+1
```

```
K1=g(t(i-1),x(i-1));
```

```
K2=g(t(i-1)+h/2,x(i-1)+h/2*K1);
```

```
K3=g(t(i-1)+h/2,x(i-1)+h/2*K2);
```

```
K4=g(t(i-1)+h,x(i-1)+h*K3);
```

```
delt=h/6*(K1+2*K2+2*K3+K4);
```

```
x(i)=x(i-1)+delt;
```

```
end
```

```

end
%Функция решения задачи Коши методом Кутты-Мерсона.
function [x,t,j]=kut_merson(a,b,n,eps,x0)
h=(b-a)/n;
x(1)=x0;t(1)=a;i=2;
while (t(i-1)+h)<=b
R=3*eps;
while R>eps
K1=g(t(i-1),x(i-1));
K2=g(t(i-1)+h/3,x(i-1)+h/3*K1);
K3=g(t(i-1)+h/3,x(i-1)+h/6*K1+h/6*K2);
K4=g(t(i-1)+h/2,x(i-1)+h/8*K1+3*h/8*K2);
K5=g(t(i-1)+h,x(i-1)+h/2*K1-3*h/2*K3+2*h*K4);
X1=x(i-1)+h/2*(K1-3*K3+4*K4);
X2=x(i-1)+h/6*(K1+4*K4+K5);
R=0.2*abs(X1-X2);
if R>eps
h=h/2;
else
t(i)=t(i-1)+h;
x(i)=X2;
i=i+1;
if R<=eps/64
if (t(i-1)+2*h)<=b
h=2*h;
end
end
end
end
end
j=i-1
end
%Функция решения задачи Коши методом Милна.
function [x,t]=miln(a,b,n,x0)
h=(b-a)/n;
x(1)=x0;xp(1)=x(1);
for i=1:n+1
t(i)=a+(i-1)*h;
end
for i=2:4
K1=g(t(i-1),x(i-1));
K2=g(t(i-1)+h/2,x(i-1)+h/2*K1);
K3=g(t(i-1)+h/2,x(i-1)+h/2*K2);
K4=g(t(i-1)+h,x(i-1)+h*K3);
delt=h/6*(K1+2*K2+2*K3+K4);
x(i)=x(i-1)+delt;
xp(i)=x(i);
end
for i=4:n
xp(i+1)=x(i-3)+4*h/3*(2*g(t(i-2),x(i-2))-g(t(i-1),...
x(i-1))+g(t(i),x(i)));

```

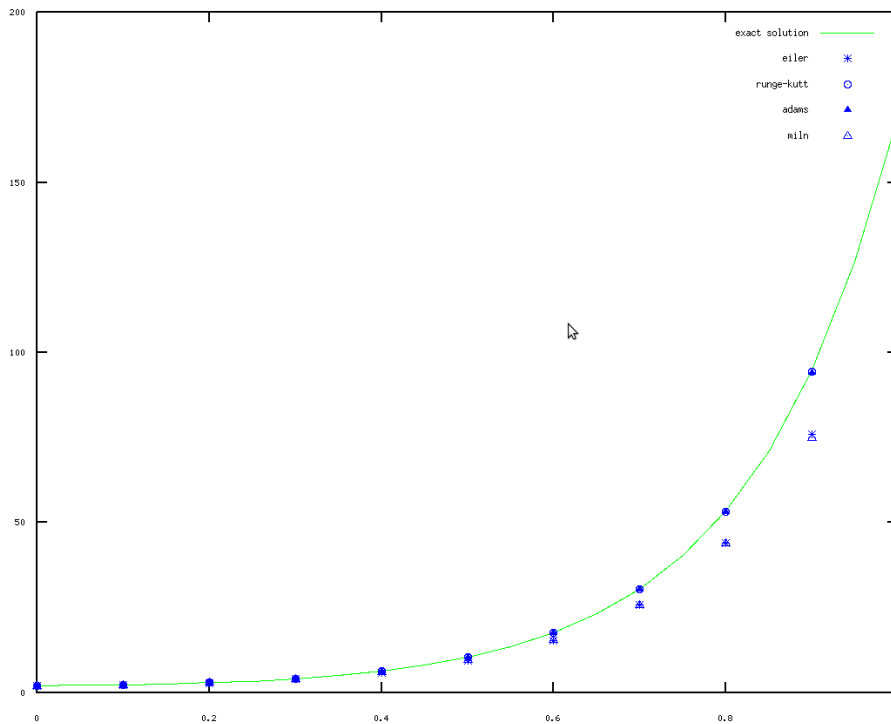
```

m=xp(i+1)+28/29*(x(i)-xp(i));
x(i+1)=x(i-1)+h/3*(g(t(i-1),x(i-1))+4*g(t(i),x(i))...
+g(t(i+1),m));
end
end
%Функция решения задачи Коши методом Адамса.
function [x,t]=adams(a,b,n,x0)
h=(b-a)/n;
x(1)=x0;
for i=1:n+1
t(i)=a+(i-1)*h;
end
for i=2:4
K1=g(t(i-1),x(i-1));K2=g(t(i-1)+h/2,x(i-1)+h/2*K1);
K3=g(t(i-1)+h/2,x(i-1)+h/2*K2);K4=g(t(i-1)+h,x(i-1)+h*K3);
delt=h/6*(K1+2*K2+2*K3+K4);
x(i)=x(i-1)+delt;
end
for i=4:n
xp=x(i)+h/24*(-9*g(t(i-3),x(i-3))+37*g(t(i-2),x(i-2))...
-59*g(t(i-1),x(i-1))+55*g(t(i),x(i)));
x(i+1)=x(i)+h/24*(g(t(i-2),x(i-2))-5*g(t(i-1),x(i-1))...
+19*g(t(i),x(i))+9*g(t(i+1),xp));
end end
%Решение дифференциального уравнения модифицированным
% методом Эйлера.
[YE_M,XE_M]=euler_m(0,1,10,2);
%Решение дифференциального уравнения методом Рунге-Кутта.
[YR,XR]=runge_kut(0,1,10,2);
%Решение дифференциального уравнения методом
%Кутта-Мерсона.
[YKM,XKM,KM]=kut_merson(0,1,5,0.001,2);
%Решение дифференциального уравнения методом Адамса.
[YA,XA]=adams(0,1,10,2);
%Решение дифференциального уравнения методом Милна.
[YM,XM]=miln(0,1,10,2);
%Точное решение.
x1=0:0.05:1;y1=fi(x1);
%Построение графиков.
plot(x1,y1,'-g;exact solution;',XE_M,YE_M,'*b;euler;',...
XR,YR,'ob;runge-kutt;',XA,YA,'^b;adams;',...
XM,YM,'>b;miln;');
figure();
plot(x1,y1,'-g;exact solution;',XKM,YKM,'<b;kut-merson;');
grid on;

```

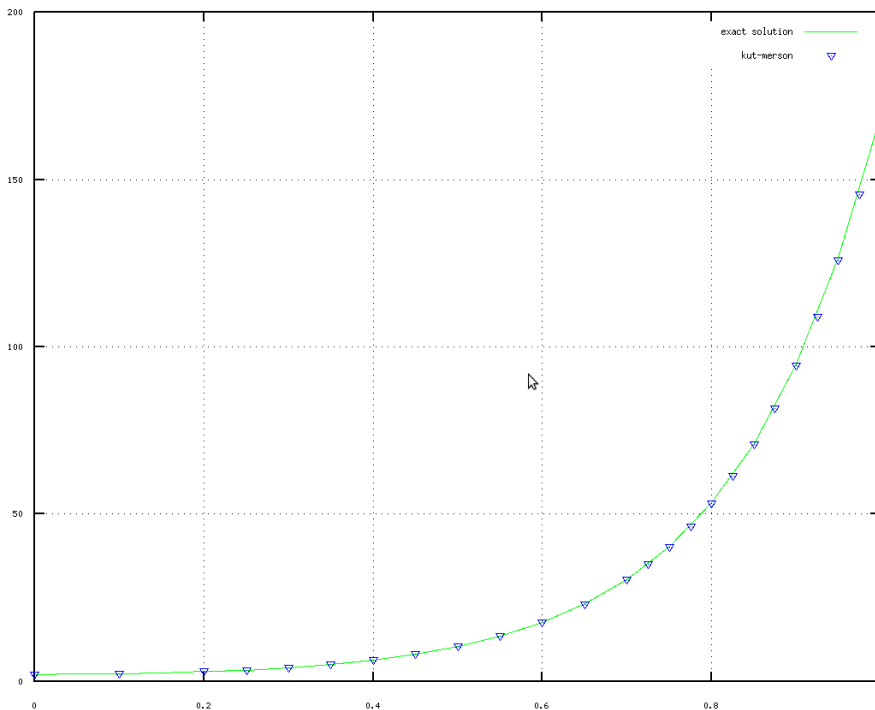
Листинг 9.7.

На рис. 9.3-9.4 приведены графики решения задачи модифицированным методом Эйлера, методами Рунге-Кутта, Кутта-Мерсона, Адамса, Милна и точного решения. При обращении к функции `kut_merson` в качестве  $n$  передавалось число 5.



0,616572, 108,181

Рисунок 9.3 Графики решения модифицированным методом Эйлера, методами Рунге-Кутта, Адамса, Милна и точного решения



0,593176, 91,5193

Рисунок 9.4 Графики решения методом Кутта-Мерсона и точного решения

Функция выбирала оптимальный шаг на каждом из отрезков. Как видно из рисунка, шаг то увеличивается, то уменьшается. При решении уравнения методом Кутта-Мерсона невозможно гарантировать вычисление значения в заданных точках интервала. Однако после получения решения методом Кутта-Мерсона значение в любой точки можно вычислить, интерполируя полученную зависимость.

При решении данной задачи наиболее точными оказались методы Адамса, Рунге-Кутта и Кутта-Мерсона.

## 9.4 Решение систем дифференциальных уравнений

Все рассмотренные методы решения дифференциальных уравнений применимы и для систем дифференциальных уравнений. Рассмотрим на примере метода Рунге-Кутта, как рассмотренные методы можно обобщить для систем.

Пусть дана система дифференциальных уравнений в матричном виде

$$\frac{d\bar{x}}{dt} = \bar{f}(t, \bar{x}) \quad (9.30)$$

с начальным условием  $\bar{x}(t_0) = \bar{x}_0$ ,

$$\text{где } \bar{x} = \begin{pmatrix} x_1(t) \\ x_2(t) \\ \dots \\ x_n(t) \end{pmatrix}, \quad \bar{f}(t, \bar{x}) = \begin{pmatrix} f_1(t, x_1, x_2, \dots, X_n) \\ f_2(t, x_1, x_2, \dots, X_n) \\ \dots \\ f_n(t, x_1, x_2, \dots, X_n) \end{pmatrix}, \quad \bar{x}^0 = \begin{pmatrix} x_1^0 \\ x_2^0 \\ \dots \\ x_n^0 \end{pmatrix}.$$

Задав шаг  $h$  и введя стандартные обозначения  $t_i = t_0 + i h$ ,  $x_i = x(t_i)$ ,  $\Delta x_i = x_{i+1} - x_i$ ,  $i = 1, n$  получим формулы метода Рунге-Кутта для системы:

$$\left\{ \begin{array}{l} x_{i+1}^- = \bar{x}_i + \Delta \bar{x}_i, i = 1, n \\ \Delta \bar{x}_i = \frac{h}{6} (\bar{K}_1^i + 2 \bar{K}_2^i + 2 \bar{K}_3^i + \bar{K}_4^i) \\ \bar{K}_1^i = \bar{f}(t_i, \bar{x}_i) \\ \bar{K}_2^i = \bar{f}(t_i + \frac{h}{2}, \bar{x}_i + \frac{h}{2} \bar{K}_1^i) \\ \bar{K}_3^i = \bar{f}(t_i + \frac{h}{2}, \bar{x}_i + \frac{h}{2} \bar{K}_2^i) \\ \bar{K}_4^i = \bar{f}(t_i + h, \bar{x}_i + h \bar{K}_3^i) \end{array} \right. \quad (9.31)$$

## 9.5 Встроенные функции Octave решения для дифференциальных уравнений

Наиболее часто используемыми в Octave функциями для решения дифференциальных уравнений являются:

- `ode23(@f, interval, X0, options)`, `ode45(@f, interval, X0, options)` – функции решений обыкновенных нежёстких дифференциальных уравнений (или систем) методом Рунге-Кутта 2-3-го и 4-5-го порядка точности соответственно;
- `ode5r(f, interval, X0, options)`, `ode2r(f, interval, X0,`



options) – функции решений обыкновенных жёстких дифференциальных уравнений (или систем).

Функции решают систему дифференциальные уравнения (системы), автоматически подбирая шаг для достижения необходимой точности.

Входными параметрами этих функций являются:

- `f` – вектор-функция для вычисления правой части дифференциального уравнения или системы;
- `interval` – массив из двух чисел, определяющий интервал интегрирования дифференциального уравнения или системы;
- `X0` – вектор начальных условий системы дифференциальных систем;
- `options` – параметры управления ходом решения дифференциального уравнения или системы.

Для определения параметров управления ходом решения дифференциальных уравнений используется функция `odeset` следующей структуры

```
options = odeset ("namepar1", val1, "namepar2", val2, ...,
"nameparn", valn);
```

Здесь

- `"namepari"` – имя *i*-го параметра;
- `vali` – значение *i*-го параметра.

При решении дифференциальных уравнений необходимо определить следующие параметры:

- `RelTol` – относительная точность решения, значение по умолчанию  $10^{-3}$  ;
- `AbsTol` – абсолютная точность решения, значение по умолчанию  $10^{-3}$  ;
- `InitialStep` – начальное значение шага изменения независимой переменной, значение по умолчанию 0.025;
- `MaxStep` – максимальное значение шага изменения независимой переменной, значение по умолчанию 0.025.

Все функции возвращают:

- массив `T` – координат узлов сетки, в которых ищется решение;
- матрицу `X`, *i*-й столбец которой является значением вектор-функции решения в узле  $T_i$  .

Напомним читателю определение жёсткой системы дифференциальных уравнений. Система дифференциальных уравнений *n*-го порядка

$$\frac{d\mathbf{x}}{dt} = \mathbf{B}\mathbf{x} \quad (9.32)$$

называется жёсткой [2], если выполнены следующие условия:

- действительные части всех собственных чисел матрицы  $\mathbf{B}(n)$  отрицательны  $|\operatorname{Re}(\lambda_k)| < 0, k = 1, 2, \dots, n$  ;

- величина  $s = \frac{\max_{1 \leq k \leq n} |\operatorname{Re}(\lambda_k)|}{\min_{1 \leq k \leq n} |\operatorname{Re}(\lambda_k)|}$  , называемая числом жесткости системы,

велика.

При исследовании на жёсткость нелинейной системы дифференциальных уравнений (9.30) в роли матрицы  $\mathbf{B}$  будет выступать матрица частных производных.

Решим задачу 9.1 с использованием функций `ode23`, `ode45`. Текст программы с комментариями представлен на листинге 9.8.

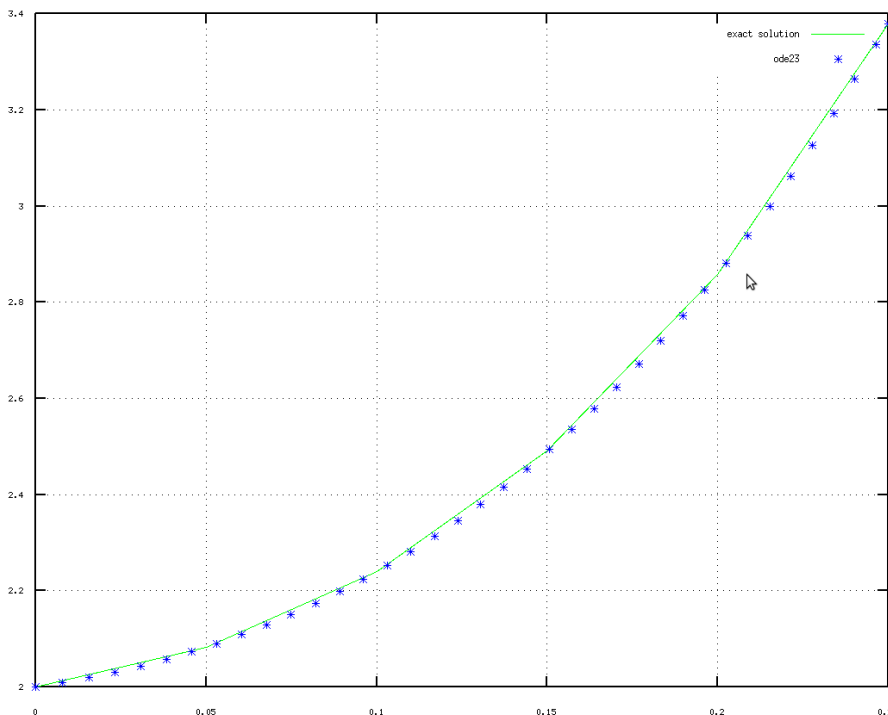
```

%Точное решение системы.
function q=fi(x)
q=119/296*exp(6*x)+1/24*(52*x.^3+114*x.^2-30*x+39)-...
6*sin(x)/37-cos(x)/37;
end
%Правая часть дифференциального уравнения.
function y=g(t,x)
y=6*x-13*t^3-22*t^2+17*t-11+sin(t);
end
%Определение параметров управления ходом решения
% дифференциального уравнения.
%RelTol - относительная точность решения 1E-5,
%AbsTol - абсолютная точность решения 1E-5,
%InitialStep - начальное значение шага изменения
%независимой переменной 0.025,
%MaxStep - максимальное значение шага изменения
%независимой переменной 0.1.
par=odeset ("RelTol", 1e-5, "AbsTol", 1e-5,...
'InitialStep',0.025,'MaxStep',0.1);
%Решение дифференциального уравнения методом Рунге-Кутты
%2-3 порядка.
[X23,Y23]=ode23(@g,[0 0.25],2,par);
%Определение параметров управления ходом решения
% дифференциального уравнения.
%RelTol - относительная точность решения 1E-4,
%AbsTol - абсолютная точность решения 1E-4,
%InitialStep - начальное значение шага изменения
%независимой переменной 0.005,
%MaxStep - максимальное значение шага изменения
%независимой переменной 0.2.
par=odeset ("RelTol", 1e-4, "AbsTol",...
1e-4,'InitialStep',0.05,'MaxStep',0.2);
%Решение дифференциального уравнения методом Рунге-Кутты
%4-5 порядка.
[X45,Y45]=ode45(@g,[0 0.25],2,par);
%Точное решение
x1=0:0.05:0.25;
y1=fi(x1)
%График решения функцией ode23 и точного решения.
plot(x1,y1,'-g;exact solution;',X23,Y23,'*b;ode23;');
grid on;
figure();
%График решения функцией ode45 и точного решения.
plot(x1,y1,'-g;exact solution;',X45,Y45,'*b;ode45;');
grid on;

```

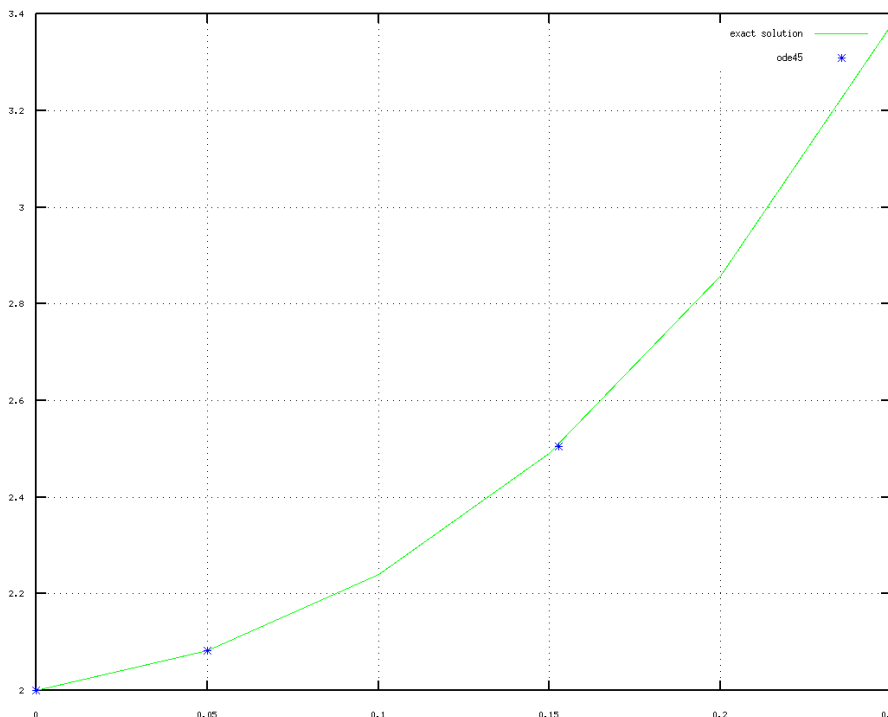
Листинг 9.8.

На рис. 9.5 представлено решение, найденное с помощью функции `ode23` с точностью  $1E-5$  и точное решение. На рис. 9.6 представлено решение, найденное с помощью функции `ode45` с точностью  $1E-4$  и точное решение.



0.208481, 2.85586

Рисунок 9.5. Графики точного решения задачи 9.1 и решения, найденного с помощью функции `ode23`



0.281033, 3.10129

Рисунок 9.6. Графики точного решения задачи 9.1 и решения, найденного с помощью функции `ode45`

Функции `ode23` и `ode45` позволяют найти решение с заданной точностью, однако, как и следовало ожидать, при использовании метода Рунге-Кутты более высокой точности шаг изменения переменной  $x$  намного меньше.

Пример решения жёсткой системы дифференциальных уравнений

### ПРИМЕР 9.2.

Решить задачу Коши для жёсткой системы дифференциальных уравнений	
$\frac{dx}{dt} =$	$\begin{pmatrix} 119.46 & 185.38 & 126.88 & 121.03 \\ -10.395 & -10.136 & -3.636 & 8.577 \\ -53.302 & -85.932 & -63.182 & -54.211 \\ -115.58 & -181.75 & -112.8 & -199 \end{pmatrix} x,$
	$x(0) = \begin{pmatrix} 1 \\ 1 \\ 1 \\ 1 \end{pmatrix}.$

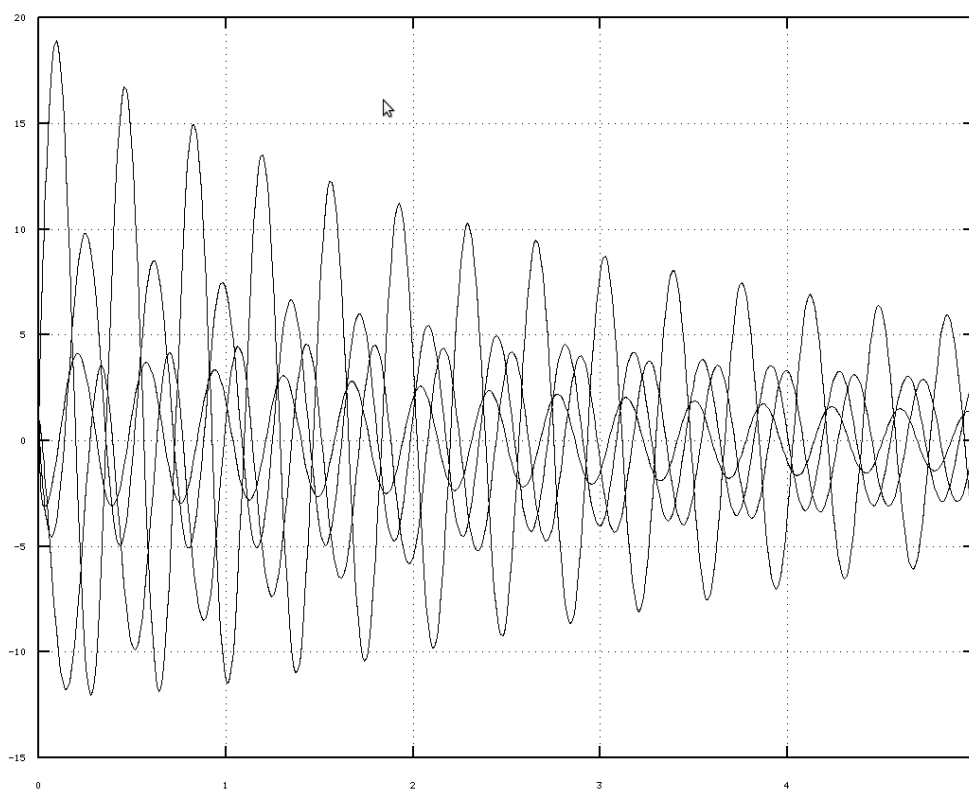
Решение задачи с комментариями представлено на листинге, на рис. Можно увидеть график решения.

```
%Функция правой части жёсткой системы дифференциальных
% уравнений.
function dx=syst1(t,x)
V=[119.46 185.38 126.88 121.03;-10.395 -10.136 -3.636...
 8.577; -53.302 -85.932 -63.182 -54.211;-115.58 -181.75...
-112.8 -199];
dx=B*x;
end
%Определение параметров управления ходом решения жёсткой
% системы дифференциальных уравнений.
%RelTol - относительная точность решения 1E-8,
%AbsTol - абсолютная точность решения 1E-8,
%InitialStep - начальное значение шага изменения
%независимой переменной 0.02,
%MaxStep - максимальное значение шага изменения
%независимой переменной 0.1.
par=odeset ("RelTol", 1e-8, "AbsTol", 1e-8,...
'InitialStep',0.02, 'MaxStep',0.1);
%Решение жёсткой системы дифференциальных уравнений.
%Построение графика решения.
[A,B]=ode2r(@syst1,[0 5],[1;1;1;1]);
plot(A,B,'-k')
grid on;
Листинг 9.9.
```

Этим примером мы заканчиваем краткое описание возможностей Octave для решения дифференциальных уравнений. Однако, следует помнить о следующем: решение реального дифференциального уравнения (а тем более системы) – достаточно сложная математическая задача. Для её решения недостаточно знания синтаксиса функций Octave, необходимо достаточно глубоко знать математические методы решения подобных задач. При решении дифференциальных уравнений необходимо определить метод решения и только потом пытаться использовать встроенные функции или писать свои. Авторы не случайно достаточно подробно напомнили читателю основные численные методы решения дифференциальных уравнений и систем. На наш взгляд без знания численных и аналитических методов решения дифференциальных уравнений, достаточно проблематично решить реальную задачу.

Кроме того, следует помнить, что функциями `ode23`, `ode45`, `ode2r`, `ode5r` возможности пакета не ограничиваются. Octave предоставляет достаточное количество функций для решения дифференциальных уравнений различного вида. Они подробно

описаны в справке консольной версии приложения<sup>2</sup>.



1.83837, 16,0668

Рисунок 9.7 График решения задачи 9.2

Множество функций решени дифференциальных уравнений находится в пакете расширений *odepkg*. Краткое описание функций этого пакета на английском языке с некоторыми примерами приведено на странице <http://octave.sourceforge.net/odepkg/overview.html>.

---

<sup>2</sup> Ещё раз напоминаем читателю, что справка по Octave, доступная из оболочки `qtoctave` недостаточно полная.